



IMÁGENES EN MEDICINA INTENSIVA

## Implementación de la tomografía por impedancia eléctrica en la enfermedad pleuropulmonar del paciente adulto

### Electrical impedance tomography implementation in pleuropulmonary pathology in adult patients

Gabriel Appendino\*, Celeste Gomez y Carlos Lovesio

Unidad de Terapia Intensiva, Sanatorio Parque, Rosario, Argentina

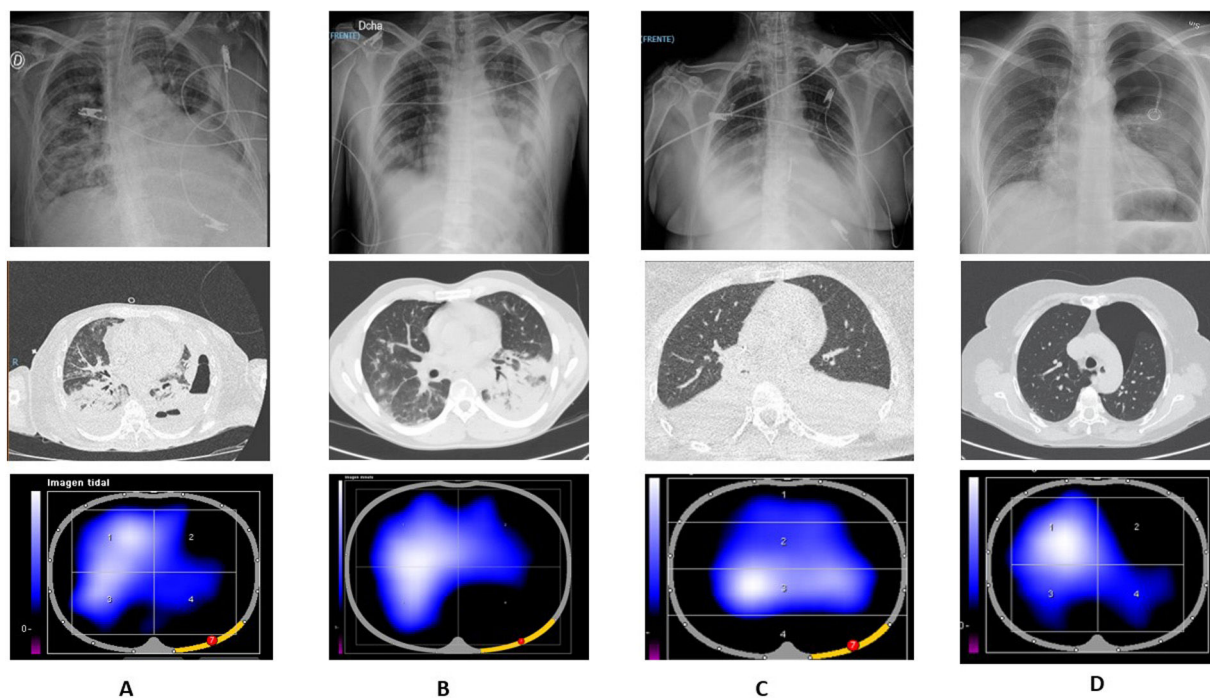


Figura 1

\* Autor para correspondencia.

Correo electrónico: [gappendino@ugr.edu.ar](mailto:gappendino@ugr.edu.ar) (G. Appendino).

<https://doi.org/10.1016/j.medin.2025.502262>

0210-5691/© 2025 Elsevier España, S.L.U. y SEMICYUC. Se reservan todos los derechos, incluidos los de minería de texto y datos, entrenamiento de IA y tecnologías similares.

Cómo citar este artículo: G. Appendino, C. Gomez and C. Lovesio, Implementación de la tomografía por impedancia eléctrica en la enfermedad pleuropulmonar del paciente adulto, Medicina Intensiva, <https://doi.org/10.1016/j.medin.2025.502262>

Se presentan imágenes torácicas a través de radiografías, tomografía por impedancia eléctrica (TIE) y axial computarizada en pacientes con enfermedad pleuropulmonar (fig. 1). A representa un hidroneumotórax tabicado; a través de la TIE se visualiza una menor distribución de volumen pulmonar en los cuadrantes 2 y 4, correspondientes al pulmón izquierdo. B representa una contusión pulmonar con derrame pleural basal izquierdo; a través de la TIE se visualiza el cuadrante 4 con ausencia de ventilación, representando la región pulmonar basal izquierda. C representa un derrame pleural bilateral; la TIE se dispone a través de capas, denotando la ausencia de ventilación en la capa 4. D representa un neumotórax apical izquierdo; se visualiza a través de la TIE la ausencia de distribución de volumen pulmonar en el cuadrante 2.

## Financiación

No presenta financiación.